

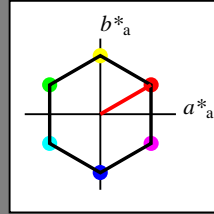
## Eingabe: Farbmétrisches Standard-Reflektiv-System SRS18

für Buntton  $h^* = lab^*h = 30/360 = 0.083$  $lab^*tch$  und  $lab^*nch$ 

D65: Buntton O

LCH\*Ma: 57 77 30

olv\*Ma: 1.0 0.0 0.0



## SRS18; adaptierte CIELAB-Daten

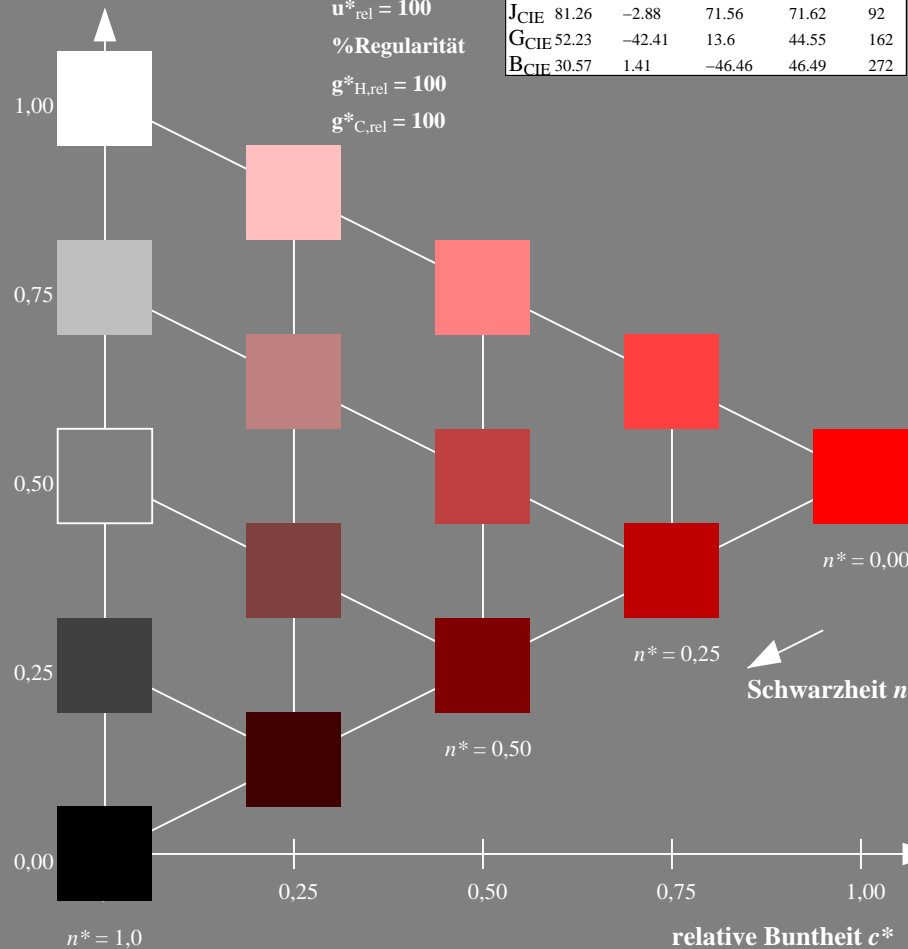
	$L^*=L^*_a$	$a^*_a$	$b^*_a$	$C^*_{ab,a}$	$h^*_{ab,a}$
O <sub>m</sub>	56.71	67.03	38.7	77.4	30
Y <sub>m</sub>	56.71	0.0	77.4	77.4	90
L <sub>m</sub>	56.71	-67.02	38.7	77.4	150
C <sub>m</sub>	56.71	-67.02	-38.69	77.4	210
V <sub>m</sub>	56.71	0.0	-77.39	77.4	270
M <sub>m</sub>	56.71	67.03	-38.69	77.4	330
N <sub>m</sub>	18.01	0.0	0.0	0.0	0
W <sub>m</sub>	95.41	0.0	0.0	0.0	0
R <sub>CIE</sub>	39.92	58.74	27.99	65.07	25
J <sub>CIE</sub>	81.26	-2.88	71.56	71.62	92
G <sub>CIE</sub>	52.23	-42.41	13.6	44.55	162
B <sub>CIE</sub>	30.57	1.41	-46.46	46.49	272

Dreiecks-Helligkeit  $t^*$ 

%Umfang

 $u^*_{rel} = 100$ 

%Regularität

 $g^*_{H,rel} = 100$  $g^*_{C,rel} = 100$ 

NG270-7, 5 stufige Reihen für konstanten CIELAB Buntton 30/360 = 0.083 (links)

BAM-Prüfvorlage NG27; Farbmétrik-Systeme ORS18 &amp; ORS18input: olv\* setrgbcolor

D65: Koordinatensysteme; 5stufige Farbreihen für 10 Bunttöne output: Startup (S) data dependend

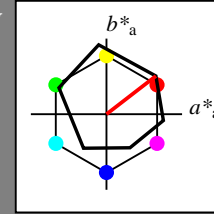
## Ausgabe: Farbmétrisches Offset-Reflektiv-System ORS18

für Buntton  $h^* = lab^*h = 38/360 = 0.105$  $LAB^*LCH, LAB^*NCH$ 

D65: Buntton O

LCH\*Ma: 48 83 38

olv\*Ma: 1.0 0.0 0.0



## ORS18; adaptierte CIELAB-Daten

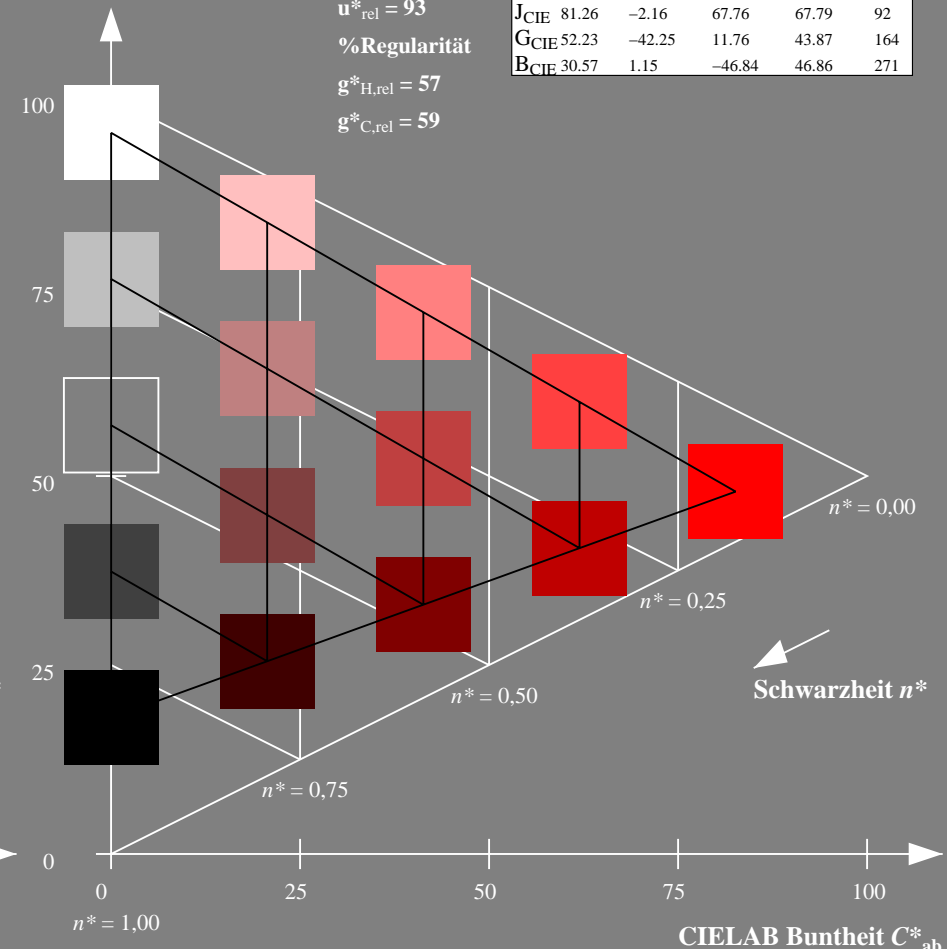
	$L^*=L^*_a$	$a^*_a$	$b^*_a$	$C^*_{ab,a}$	$h^*_{ab,a}$
O <sub>m</sub>	47.94	65.39	50.52	82.63	38
Y <sub>m</sub>	90.37	-10.26	91.75	92.32	96
L <sub>m</sub>	50.9	-62.83	34.96	71.91	151
C <sub>m</sub>	58.62	-30.34	-45.01	54.3	236
V <sub>m</sub>	25.72	31.1	-44.4	54.22	305
M <sub>m</sub>	48.13	75.28	-8.36	75.74	354
N <sub>m</sub>	18.01	0.0	0.0	0.0	0
W <sub>m</sub>	95.41	0.0	0.0	0.0	0
R <sub>CIE</sub>	39.92	58.66	26.98	64.57	25
J <sub>CIE</sub>	81.26	-2.16	67.76	67.79	92
G <sub>CIE</sub>	52.23	-42.25	11.76	43.87	164
B <sub>CIE</sub>	30.57	1.15	-46.84	46.86	271

CIELAB-Helligkeit  $L^*$ 

%Umfang

 $u^*_{rel} = 93$ 

%Regularität

 $g^*_{H,rel} = 57$  $g^*_{C,rel} = 59$ 

5 stufige Reihen für konstanten CIELAB Buntton 38/360 = 0.105 (rechts)

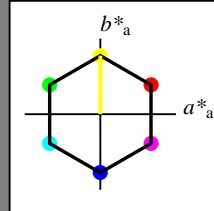
## Eingabe: Farbmétrisches Standard-Reflektiv-System SRS18

für Buntton  $h^* = lab^*h = 90/360 = 0.25$  $lab^*tch$  und  $lab^*nch$ 

D65: Buntton Y

LCH\*Ma: 57 77 90

olv\*Ma: 1.0 1.0 0.0



## SRS18; adaptierte CIELAB-Daten

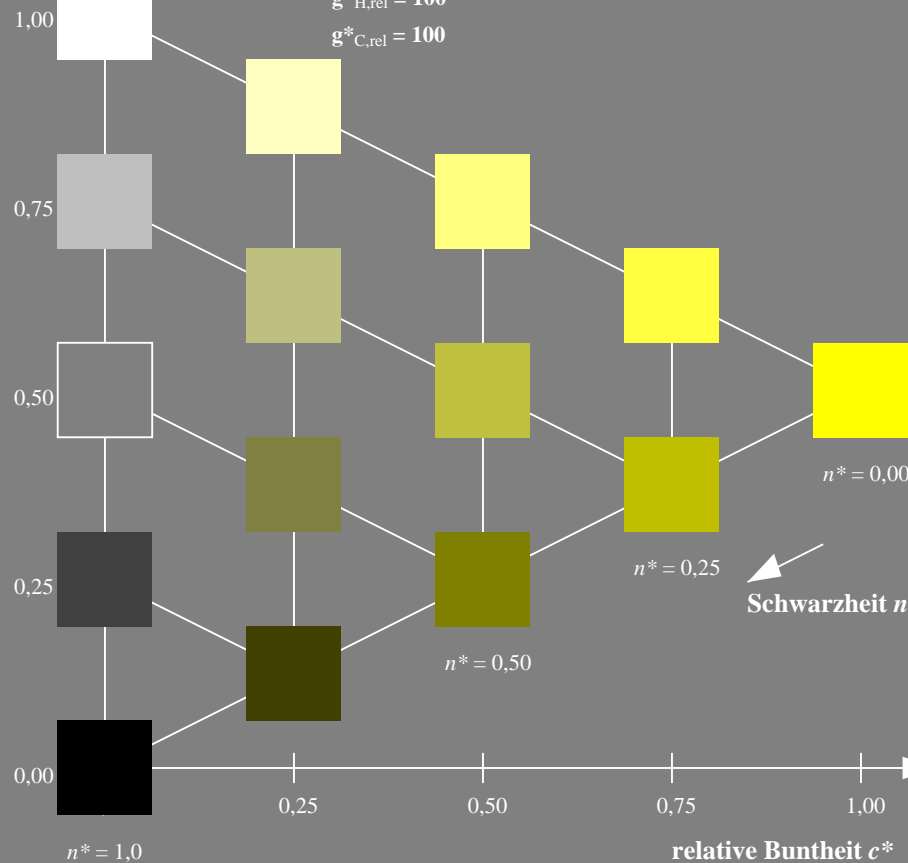
	$L^*=L^*_a$	$a^*_a$	$b^*_a$	$C^*_{ab,a}$	$h^*_{ab,a}$
O <sub>m</sub>	56.71	67.03	38.7	77.4	30
Y <sub>m</sub>	56.71	0.0	77.4	77.4	90
L <sub>m</sub>	56.71	-67.02	38.7	77.4	150
C <sub>m</sub>	56.71	-67.02	-38.69	77.4	210
V <sub>m</sub>	56.71	0.0	-77.39	77.4	270
M <sub>m</sub>	56.71	67.03	-38.69	77.4	330
N <sub>m</sub>	18.01	0.0	0.0	0.0	0
W <sub>m</sub>	95.41	0.0	0.0	0.0	0
R <sub>CIE</sub>	39.92	58.74	27.99	65.07	25
J <sub>CIE</sub>	81.26	-2.88	71.56	71.62	92
G <sub>CIE</sub>	52.23	-42.41	13.6	44.55	162
B <sub>CIE</sub>	30.57	1.41	-46.46	46.49	272

Dreiecks-Helligkeit  $t^*$ 

%Umfang

 $u^*_{rel} = 100$ 

%Regularität

 $g^*_{H,rel} = 100$  $g^*_{C,rel} = 100$ 

NG270-7, 5 stufige Reihen für konstanten CIELAB Buntton 90/360 = 0.25 (links)

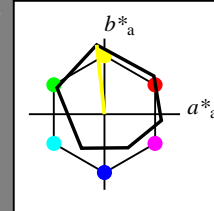
## Ausgabe: Farbmétrisches Offset-Reflektiv-System ORS18

für Buntton  $h^* = lab^*h = 96/360 = 0.268$  $LAB^*LCH, LAB^*NCH$ 

D65: Buntton Y

LCH\*Ma: 90 92 96

olv\*Ma: 1.0 1.0 0.0



## ORS18; adaptierte CIELAB-Daten

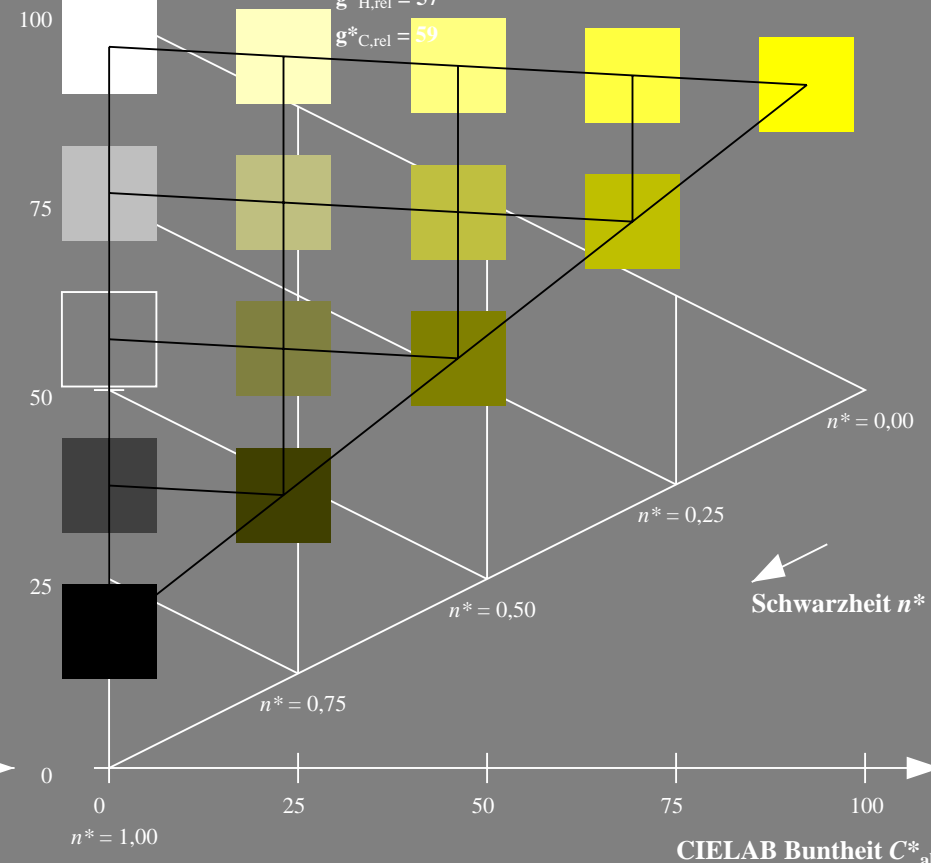
	$L^*=L^*_a$	$a^*_a$	$b^*_a$	$C^*_{ab,a}$	$h^*_{ab,a}$
O <sub>m</sub>	47.94	65.39	50.52	82.63	38
Y <sub>m</sub>	90.37	-10.26	91.75	92.32	96
L <sub>m</sub>	50.9	-62.83	34.96	71.91	151
C <sub>m</sub>	58.62	-30.34	-45.01	54.3	236
V <sub>m</sub>	25.72	31.1	-44.4	54.22	305
M <sub>m</sub>	48.13	75.28	-8.36	75.74	354
N <sub>m</sub>	18.01	0.0	0.0	0.0	0
W <sub>m</sub>	95.41	0.0	0.0	0.0	0
R <sub>CIE</sub>	39.92	58.66	26.98	64.57	25
J <sub>CIE</sub>	81.26	-2.16	67.76	67.79	92
G <sub>CIE</sub>	52.23	-42.25	11.76	43.87	164
B <sub>CIE</sub>	30.57	1.15	-46.84	46.86	271

CIELAB-Helligkeit  $L^*$ 

%Umfang

 $u^*_{rel} = 93$ 

%Regularität

 $g^*_{H,rel} = 57$  $g^*_{C,rel} = 59$ 

5 stufige Reihen für konstanten CIELAB Buntton 96/360 = 0.268 (rechts)

BAM-Prüfvorlage NG27; Farbmétrik-Systeme ORS18 &amp; ORS18input: olv\* setrgbcolor

D65: Koordinatensysteme; 5stufige Farbreihen für 10 Bunttöne output: Startup (S) data dependend

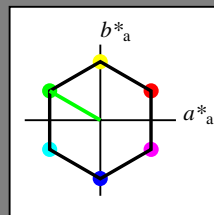
## Eingabe: Farbmétrisches Standard-Reflektiv-System SRS18

für Buntton  $h^* = lab^*h = 150/360 = 0.417$  $lab^*tch$  und  $lab^*nch$ 

D65: Buntton L

LCH\*Ma: 57 77 150

olv\*Ma: 0.0 1.0 0.0



## SRS18; adaptierte CIELAB-Daten

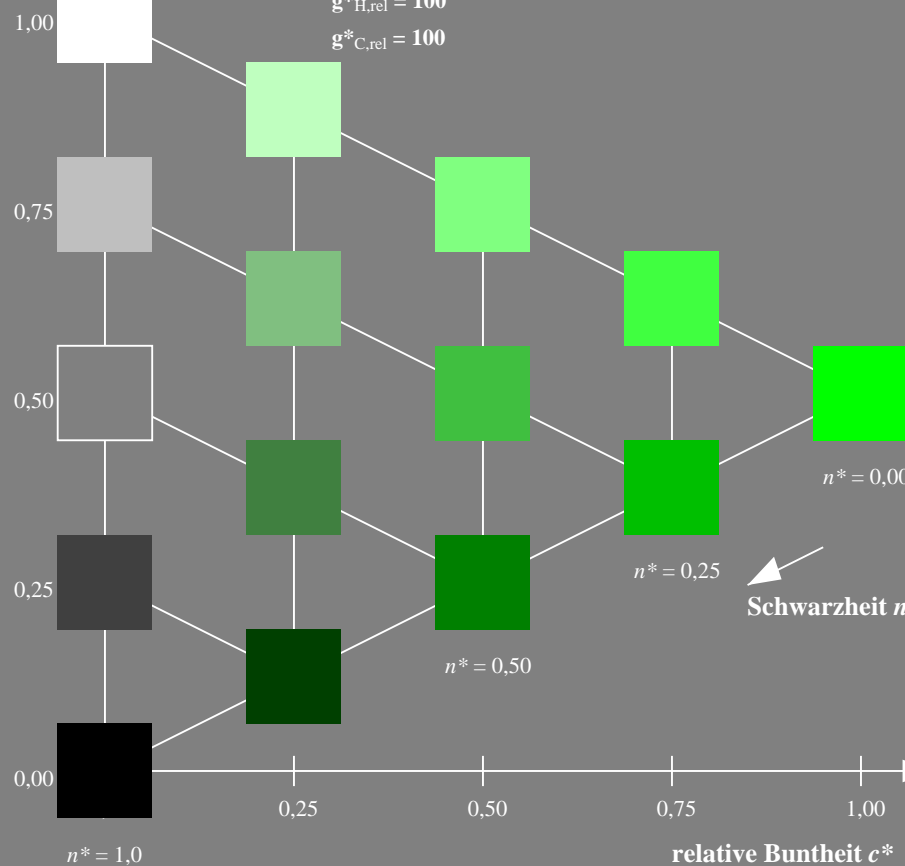
	$L^*=L^*_a$	$a^*_a$	$b^*_a$	$C^*_{ab,a}$	$h^*_{ab,a}$
O <sub>m</sub>	56.71	67.03	38.7	77.4	30
Y <sub>m</sub>	56.71	0.0	77.4	77.4	90
L <sub>m</sub>	56.71	-67.02	38.7	77.4	150
C <sub>m</sub>	56.71	-67.02	-38.69	77.4	210
V <sub>m</sub>	56.71	0.0	-77.39	77.4	270
M <sub>m</sub>	56.71	67.03	-38.69	77.4	330
N <sub>m</sub>	18.01	0.0	0.0	0.0	0
W <sub>m</sub>	95.41	0.0	0.0	0.0	0
R <sub>CIE</sub>	39.92	58.74	27.99	65.07	25
J <sub>CIE</sub>	81.26	-2.88	71.56	71.62	92
G <sub>CIE</sub>	52.23	-42.41	13.6	44.55	162
B <sub>CIE</sub>	30.57	1.41	-46.46	46.49	272

Dreiecks-Helligkeit  $t^*$ 

%Umfang

 $u^*_{rel} = 100$ 

%Regularität

 $g^*_{H,rel} = 100$  $g^*_{C,rel} = 100$ 

NG270-7, 5 stufige Reihen für konstanten CIELAB Buntton 150/360 = 0.417 (links)

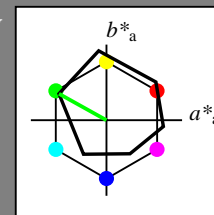
## Ausgabe: Farbmétrisches Offset-Reflektiv-System ORS18

für Buntton  $h^* = lab^*h = 151/360 = 0.419$  $LAB^*LCH$ ,  $LAB^*NCH$ 

D65: Buntton L

LCH\*Ma: 51 72 151

olv\*Ma: 0.0 1.0 0.0



## ORS18; adaptierte CIELAB-Daten

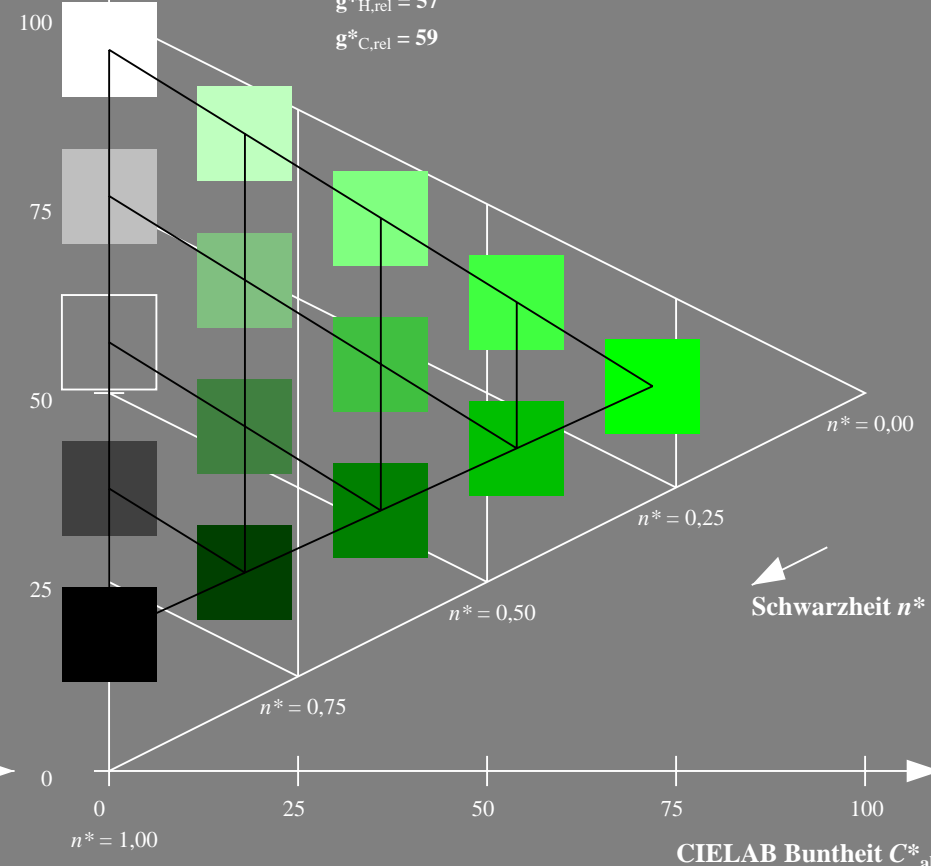
	$L^*=L^*_a$	$a^*_a$	$b^*_a$	$C^*_{ab,a}$	$h^*_{ab,a}$
O <sub>m</sub>	47.94	65.39	50.52	82.63	38
Y <sub>m</sub>	90.37	-10.26	91.75	92.32	96
L <sub>m</sub>	50.9	-62.83	34.96	71.91	151
C <sub>m</sub>	58.62	-30.34	-45.01	54.3	236
V <sub>m</sub>	25.72	31.1	-44.4	54.22	305
M <sub>m</sub>	48.13	75.28	-8.36	75.74	354
N <sub>m</sub>	18.01	0.0	0.0	0.0	0
W <sub>m</sub>	95.41	0.0	0.0	0.0	0
R <sub>CIE</sub>	39.92	58.66	26.98	64.57	25
J <sub>CIE</sub>	81.26	-2.16	67.76	67.79	92
G <sub>CIE</sub>	52.23	-42.25	11.76	43.87	164
B <sub>CIE</sub>	30.57	1.15	-46.84	46.86	271

CIELAB-Helligkeit  $L^*$ 

%Umfang

 $u^*_{rel} = 93$ 

%Regularität

 $g^*_{H,rel} = 57$  $g^*_{C,rel} = 59$ 

5 stufige Reihen für konstanten CIELAB Buntton 151/360 = 0.419 (rechts)

BAM-Prüfvorlage NG27; Farbmétrik-Systeme ORS18 &amp; ORS18input: olv\* setrgbcolor

D65: Koordinatensysteme; 5stufige Farbreihen für 10 Bunttöne output: Startup (S) data dependend

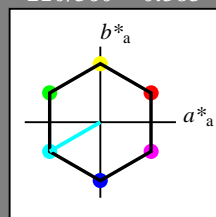
## Eingabe: Farbmétrisches Standard-Reflektiv-System SRS18

für Buntton  $h^* = lab^*h = 210/360 = 0.583$  $lab^*tch$  und  $lab^*nch$ 

D65: Buntton C

LCH\*Ma: 57 77 210

olv\*Ma: 0.0 1.0 1.0



## SRS18; adaptierte CIELAB-Daten

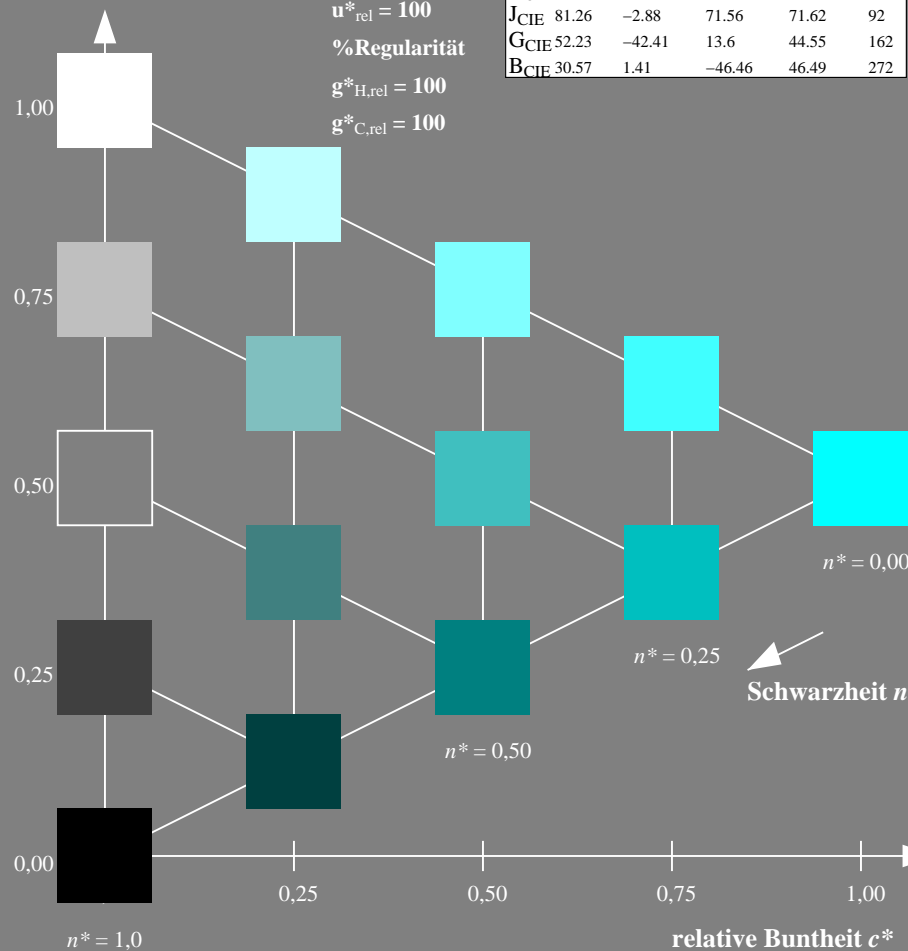
	$L^*=L^*_a$	$a^*_a$	$b^*_a$	$C^*_{ab,a}$	$h^*_{ab,a}$
O <sub>m</sub>	56.71	67.03	38.7	77.4	30
Y <sub>m</sub>	56.71	0.0	77.4	77.4	90
L <sub>m</sub>	56.71	-67.02	38.7	77.4	150
C <sub>m</sub>	56.71	-67.02	-38.69	77.4	210
V <sub>m</sub>	56.71	0.0	-77.39	77.4	270
M <sub>m</sub>	56.71	67.03	-38.69	77.4	330
N <sub>m</sub>	18.01	0.0	0.0	0.0	0
W <sub>m</sub>	95.41	0.0	0.0	0.0	0
R <sub>CIE</sub>	39.92	58.74	27.99	65.07	25
J <sub>CIE</sub>	81.26	-2.88	71.56	71.62	92
G <sub>CIE</sub>	52.23	-42.41	13.6	44.55	162
B <sub>CIE</sub>	30.57	1.41	-46.46	46.49	272

Dreiecks-Helligkeit  $t^*$ 

%Umfang

 $u^*_{rel} = 100$ 

%Regularität

 $g^*_{H,rel} = 100$  $g^*_{C,rel} = 100$ 

NG270-7, 5 stufige Reihen für konstanten CIELAB Buntton 210/360 = 0.583 (links)

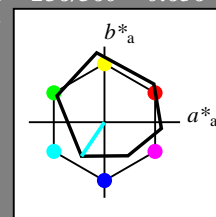
## Ausgabe: Farbmétrisches Offset-Reflektiv-System ORS18

für Buntton  $h^* = lab^*h = 236/360 = 0.656$  $LAB^*LCH, LAB^*NCH$ 

D65: Buntton C

LCH\*Ma: 59 54 236

olv\*Ma: 0.0 1.0 1.0



## ORS18; adaptierte CIELAB-Daten

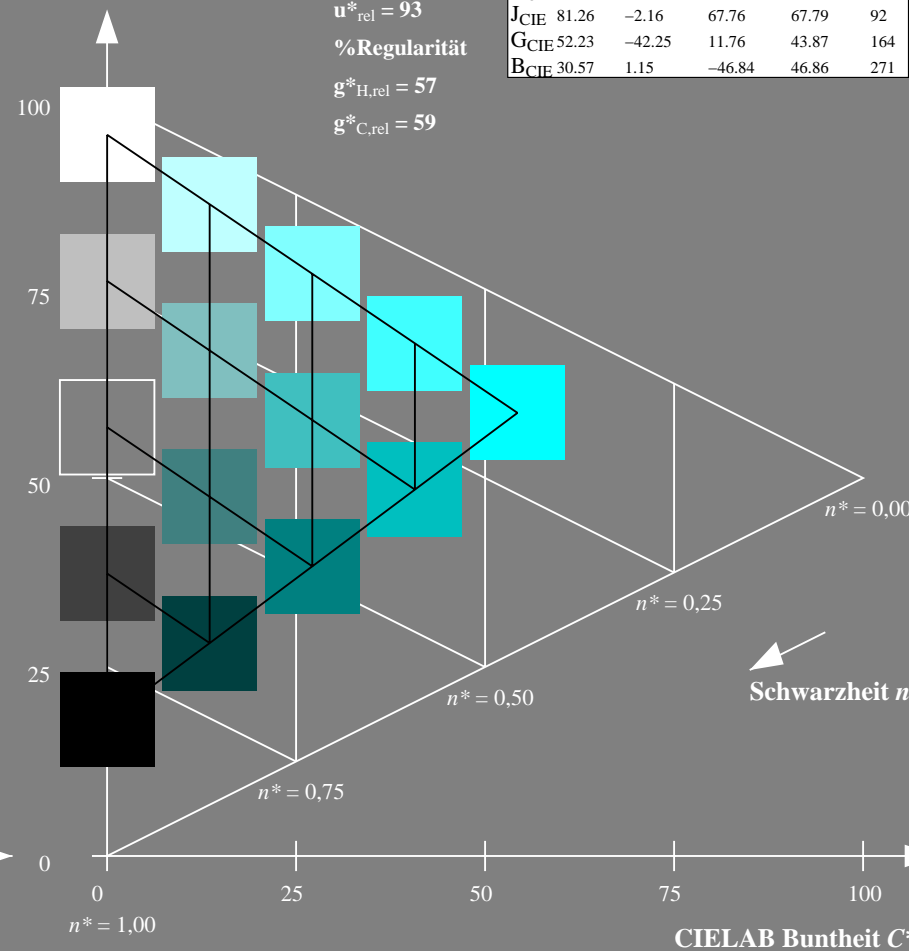
	$L^*=L^*_a$	$a^*_a$	$b^*_a$	$C^*_{ab,a}$	$h^*_{ab,a}$
O <sub>m</sub>	47.94	65.39	50.52	82.63	38
Y <sub>m</sub>	90.37	-10.26	91.75	92.32	96
L <sub>m</sub>	50.9	-62.83	34.96	71.91	151
C <sub>m</sub>	58.62	-30.34	-45.01	54.3	236
V <sub>m</sub>	25.72	31.1	-44.4	54.22	305
M <sub>m</sub>	48.13	75.28	-8.36	75.74	354
N <sub>m</sub>	18.01	0.0	0.0	0.0	0
W <sub>m</sub>	95.41	0.0	0.0	0.0	0
R <sub>CIE</sub>	39.92	58.66	26.98	64.57	25
J <sub>CIE</sub>	81.26	-2.16	67.76	67.79	92
G <sub>CIE</sub>	52.23	-42.25	11.76	43.87	164
B <sub>CIE</sub>	30.57	1.15	-46.84	46.86	271

CIELAB-Helligkeit  $L^*$ 

%Umfang

 $u^*_{rel} = 93$ 

%Regularität

 $g^*_{H,rel} = 57$  $g^*_{C,rel} = 59$ 

5 stufige Reihen für konstanten CIELAB Buntton 236/360 = 0.656 (rechts)

BAM-Prüfvorlage NG27; Farbmétrik-Systeme ORS18 &amp; ORS18input: olv\* setrgbcolor

D65: Koordinatensysteme; 5stufige Farbreihen für 10 Bunttöne output: Startup (S) data dependend

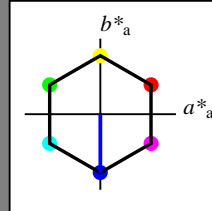
Eingabe: Farbmétrisches Standard-Reflektiv-System SRS18

für Buntton  $h^* = lab^*h = 270/360 = 0.75$  $lab^*tch$  und  $lab^*nch$ 

D65: Buntton V

LCH\*Ma: 57 77 270

olv\*Ma: 0.0 0.0 1.0



SRS18; adaptierte CIELAB-Daten

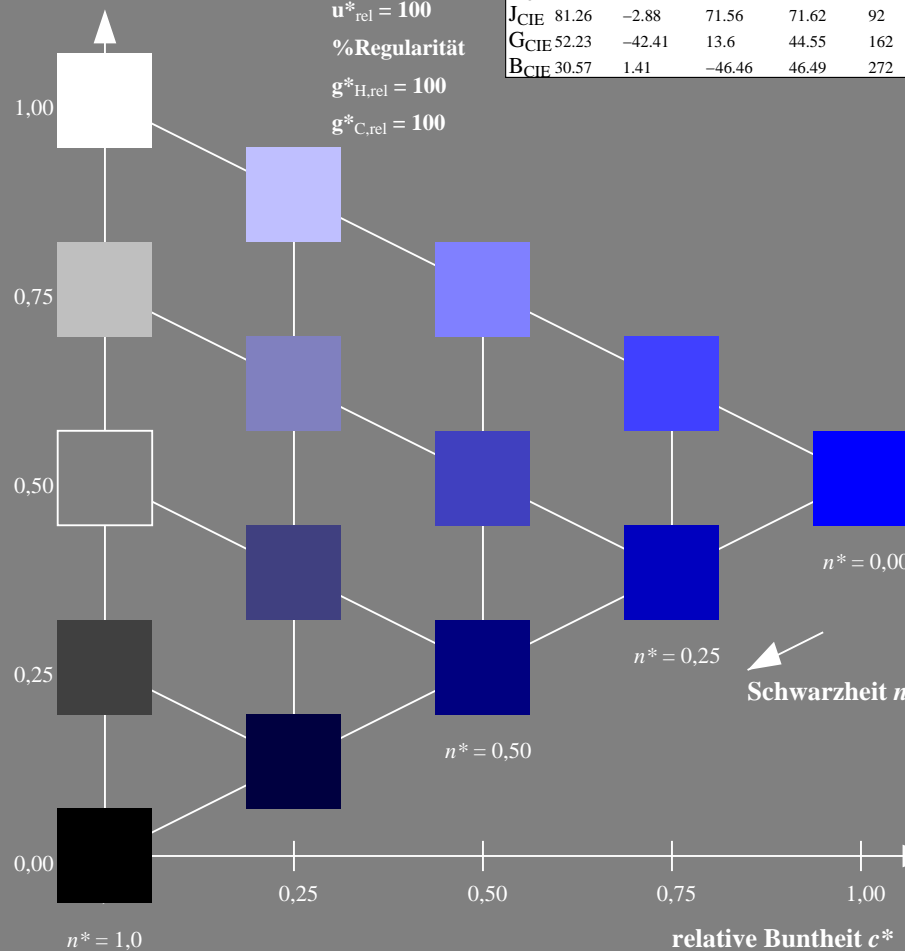
	$L^*=L^*_a$	$a^*_a$	$b^*_a$	$C^*_{ab,a}$	$h^*_{ab,a}$
O <sub>m</sub>	56.71	67.03	38.7	77.4	30
Y <sub>m</sub>	56.71	0.0	77.4	77.4	90
L <sub>m</sub>	56.71	-67.02	38.7	77.4	150
C <sub>m</sub>	56.71	-67.02	-38.69	77.4	210
V <sub>m</sub>	56.71	0.0	-77.39	77.4	270
M <sub>m</sub>	56.71	67.03	-38.69	77.4	330
N <sub>m</sub>	18.01	0.0	0.0	0.0	0
W <sub>m</sub>	95.41	0.0	0.0	0.0	0
R <sub>CIE</sub>	39.92	58.74	27.99	65.07	25
J <sub>CIE</sub>	81.26	-2.88	71.56	71.62	92
G <sub>CIE</sub>	52.23	-42.41	13.6	44.55	162
B <sub>CIE</sub>	30.57	1.41	-46.46	46.49	272

Dreiecks-Helligkeit  $t^*$ 

%Umfang

 $u^*_{rel} = 100$ 

%Regularität

 $g^*_{H,rel} = 100$  $g^*_{C,rel} = 100$ 

NG270-7, 5 stufige Reihen für konstanten CIELAB Buntton 270/360 = 0.75 (links)

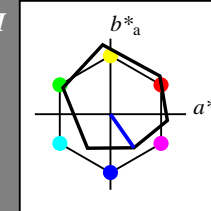
Ausgabe: Farbmétrisches Offset-Reflektiv-System ORS18

für Buntton  $h^* = lab^*h = 305/360 = 0.847$  $LAB^*LCH, LAB^*NCH$ 

D65: Buntton V

LCH\*Ma: 26 54 305

olv\*Ma: 0.0 0.0 1.0



ORS18; adaptierte CIELAB-Daten

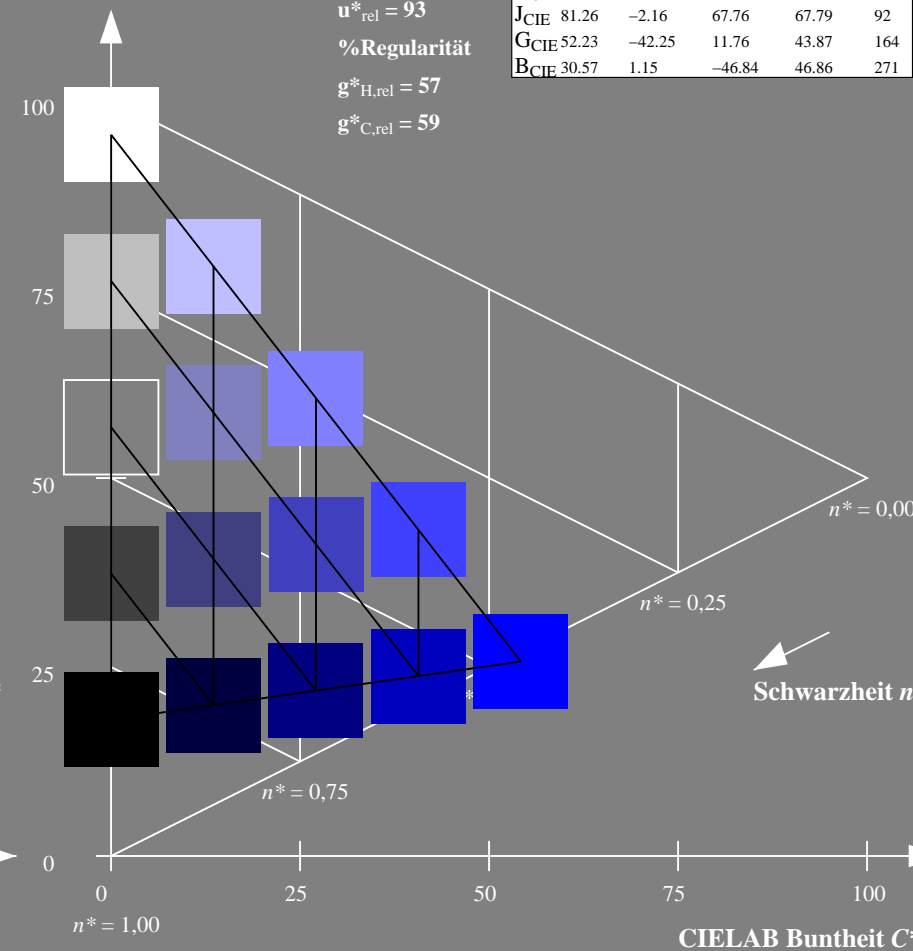
	$L^*=L^*_a$	$a^*_a$	$b^*_a$	$C^*_{ab,a}$	$h^*_{ab,a}$
O <sub>m</sub>	47.94	65.39	50.52	82.63	38
Y <sub>m</sub>	90.37	-10.26	91.75	92.32	96
L <sub>m</sub>	50.9	-62.83	34.96	71.91	151
C <sub>m</sub>	58.62	-30.34	-45.01	54.3	236
V <sub>m</sub>	25.72	31.1	-44.4	54.22	305
M <sub>m</sub>	48.13	75.28	-8.36	75.74	354
N <sub>m</sub>	18.01	0.0	0.0	0.0	0
W <sub>m</sub>	95.41	0.0	0.0	0.0	0
R <sub>CIE</sub>	39.92	58.66	26.98	64.57	25
J <sub>CIE</sub>	81.26	-2.16	67.76	67.79	92
G <sub>CIE</sub>	52.23	-42.25	11.76	43.87	164
B <sub>CIE</sub>	30.57	1.15	-46.84	46.86	271

CIELAB-Helligkeit  $L^*$ 

%Umfang

 $u^*_{rel} = 93$ 

%Regularität

 $g^*_{H,rel} = 57$  $g^*_{C,rel} = 59$ 

5 stufige Reihen für konstanten CIELAB Buntton 305/360 = 0.847 (rechts)

BAM-Prüfvorlage NG27; Farbmétrik-Systeme ORS18 &amp; ORS18input: olv\* setrgbcolor

D65: Koordinatensysteme; 5stufige Farbreihen für 10 Bunttöne output: Startup (S) data dependend

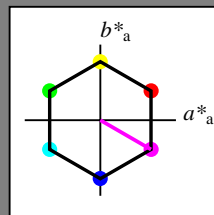
## Eingabe: Farbmétrisches Standard-Reflektiv-System SRS18

für Buntton  $h^* = lab^*h = 330/360 = 0.917$  $lab^*tch$  und  $lab^*nch$ 

D65: Buntton M

LCH\*Ma: 57 77 330

olv\*Ma: 1.0 0.0 1.0



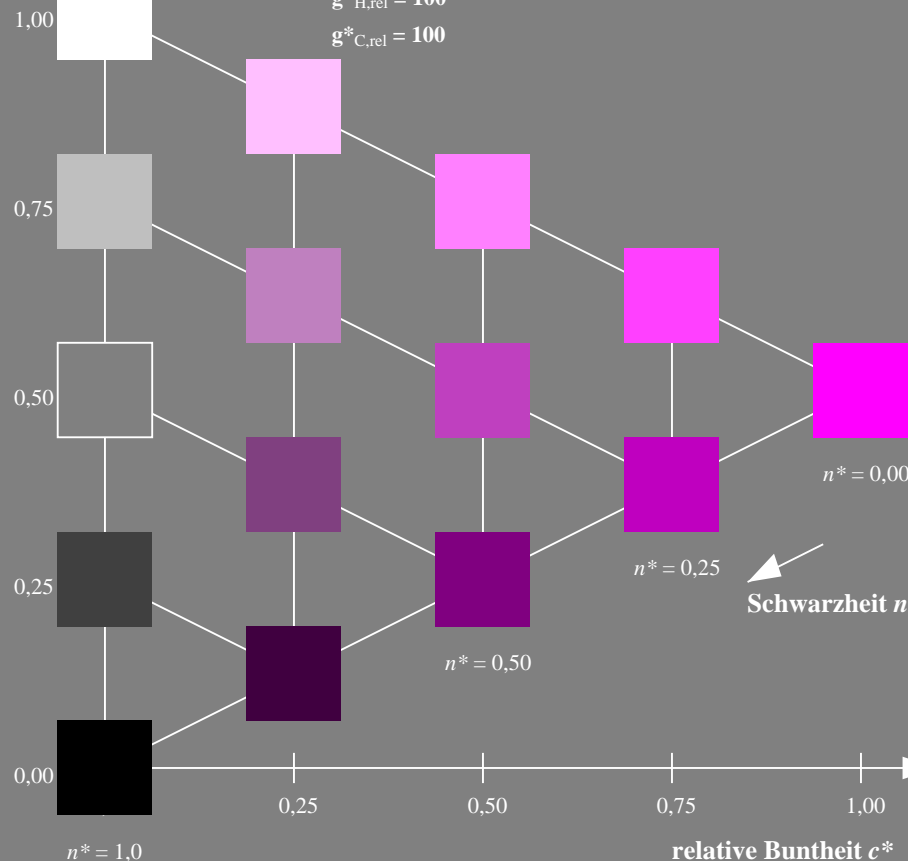
## SRS18; adaptierte CIELAB-Daten

	$L^*=L^*_a$	$a^*_a$	$b^*_a$	$C^*_{ab,a}$	$h^*_{ab,a}$
O <sub>m</sub>	56.71	67.03	38.7	77.4	30
Y <sub>m</sub>	56.71	0.0	77.4	77.4	90
L <sub>m</sub>	56.71	-67.02	38.7	77.4	150
C <sub>m</sub>	56.71	-67.02	-38.69	77.4	210
V <sub>m</sub>	56.71	0.0	-77.39	77.4	270
M <sub>m</sub>	56.71	67.03	-38.69	77.4	330
N <sub>m</sub>	18.01	0.0	0.0	0.0	0
W <sub>m</sub>	95.41	0.0	0.0	0.0	0
R <sub>CIE</sub>	39.92	58.74	27.99	65.07	25
J <sub>CIE</sub>	81.26	-2.88	71.56	71.62	92
G <sub>CIE</sub>	52.23	-42.41	13.6	44.55	162
B <sub>CIE</sub>	30.57	1.41	-46.46	46.49	272

Dreiecks-Helligkeit  $t^*$  $u^*_{rel} = 100$ 

%Umfang

%Regularität

 $g^*_{H,rel} = 100$  $g^*_{C,rel} = 100$ 

NG270-7, 5 stufige Reihen für konstanten CIELAB Buntton 330/360 = 0.917 (links)

BAM-Prüfvorlage NG27; Farbmétrik-Systeme ORS18 &amp; ORS18input: olv\* setrgbcolor

D65: Koordinatensysteme; 5stufige Farbreihen für 10 Bunttöne output: Startup (S) data dependend

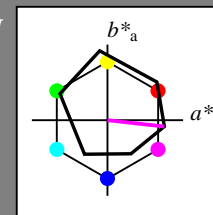
## Ausgabe: Farbmétrisches Offset-Reflektiv-System ORS18

für Buntton  $h^* = lab^*h = 354/360 = 0.982$  $LAB^*LCH, LAB^*NCH$ 

D65: Buntton M

LCH\*Ma: 48 76 354

olv\*Ma: 1.0 0.0 1.0



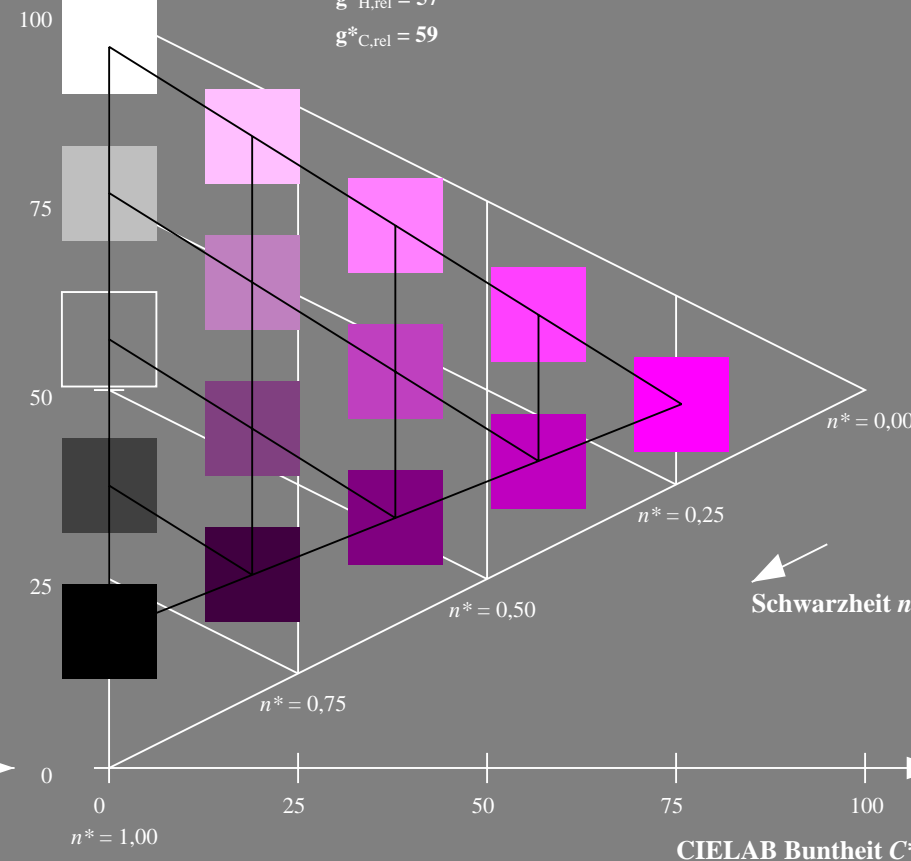
## ORS18; adaptierte CIELAB-Daten

	$L^*=L^*_a$	$a^*_a$	$b^*_a$	$C^*_{ab,a}$	$h^*_{ab,a}$
O <sub>m</sub>	47.94	65.39	50.52	82.63	38
Y <sub>m</sub>	90.37	-10.26	91.75	92.32	96
L <sub>m</sub>	50.9	-62.83	34.96	71.91	151
C <sub>m</sub>	58.62	-30.34	-45.01	54.3	236
V <sub>m</sub>	25.72	31.1	-44.4	54.22	305
M <sub>m</sub>	48.13	75.28	-8.36	75.74	354
N <sub>m</sub>	18.01	0.0	0.0	0.0	0
W <sub>m</sub>	95.41	0.0	0.0	0.0	0
R <sub>CIE</sub>	39.92	58.66	26.98	64.57	25
J <sub>CIE</sub>	81.26	-2.16	67.76	67.79	92
G <sub>CIE</sub>	52.23	-42.25	11.76	43.87	164
B <sub>CIE</sub>	30.57	1.15	-46.84	46.86	271

CIELAB-Helligkeit  $L^*$ 

%Umfang

%Regularität

 $g^*_{H,rel} = 57$  $g^*_{C,rel} = 59$ 

5 stufige Reihen für konstanten CIELAB Buntton 354/360 = 0.982 (rechts)

## Eingabe: Farbmétrisches Standard-Reflektiv-System SRS18

für Buntton  $h^* = lab^*h = 25/360 = 0.071$  $lab^*tch$  und  $lab^*nch$ 

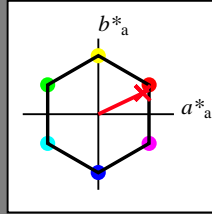
D65: Buntton R

LCH\*Ma: 57 74 25

olv\*Ma: 1.0 0.0 0.09

## SRS18; adaptierte CIELAB-Daten

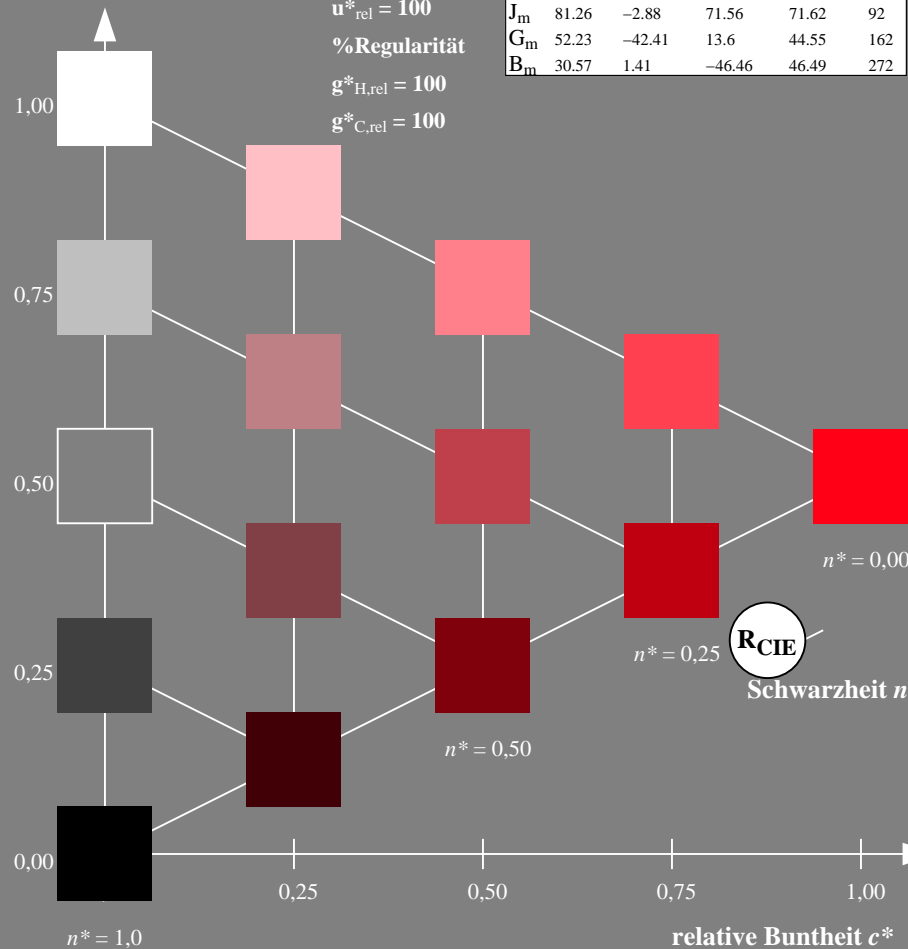
	$L^*=L^*_a$	$a^*_a$	$b^*_a$	$C^*_{ab,a}$	$h^*_{ab,a}$
O <sub>m</sub>	56.71	67.03	38.7	77.4	30
Y <sub>m</sub>	56.71	0.0	77.4	77.4	90
L <sub>m</sub>	56.71	-67.02	38.7	77.4	150
C <sub>m</sub>	56.71	-67.02	-38.69	77.4	210
V <sub>m</sub>	56.71	0.0	-77.39	77.4	270
M <sub>m</sub>	56.71	67.03	-38.69	77.4	330
N <sub>m</sub>	18.01	0.0	0.0	0.0	0
W <sub>m</sub>	95.41	0.0	0.0	0.0	0
R <sub>m</sub>	39.92	58.74	27.99	65.07	25
J <sub>m</sub>	81.26	-2.88	71.56	71.62	92
G <sub>m</sub>	52.23	-42.41	13.6	44.55	162
B <sub>m</sub>	30.57	1.41	-46.46	46.49	272

Dreiecks-Helligkeit  $t^*$ 

%Umfang

 $u^*_{rel} = 100$ 

%Regularität

 $g^*_{H,rel} = 100$  $g^*_{C,rel} = 100$ 

NG270-7, 5 stufige Reihen für konstanten CIELAB Buntton 25/360 = 0.071 (links)

## Ausgabe: Farbmétrisches Offset-Reflektiv-System ORS18

für Buntton  $h^* = lab^*h = 25/360 = 0.069$  $LAB^*LCH, LAB^*NCH$ 

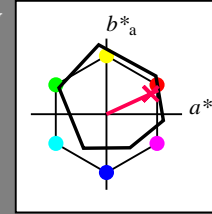
D65: Buntton R

LCH\*Ma: 48 75 25

olv\*Ma: 1.0 0.0 0.32

## ORS18; adaptierte CIELAB-Daten

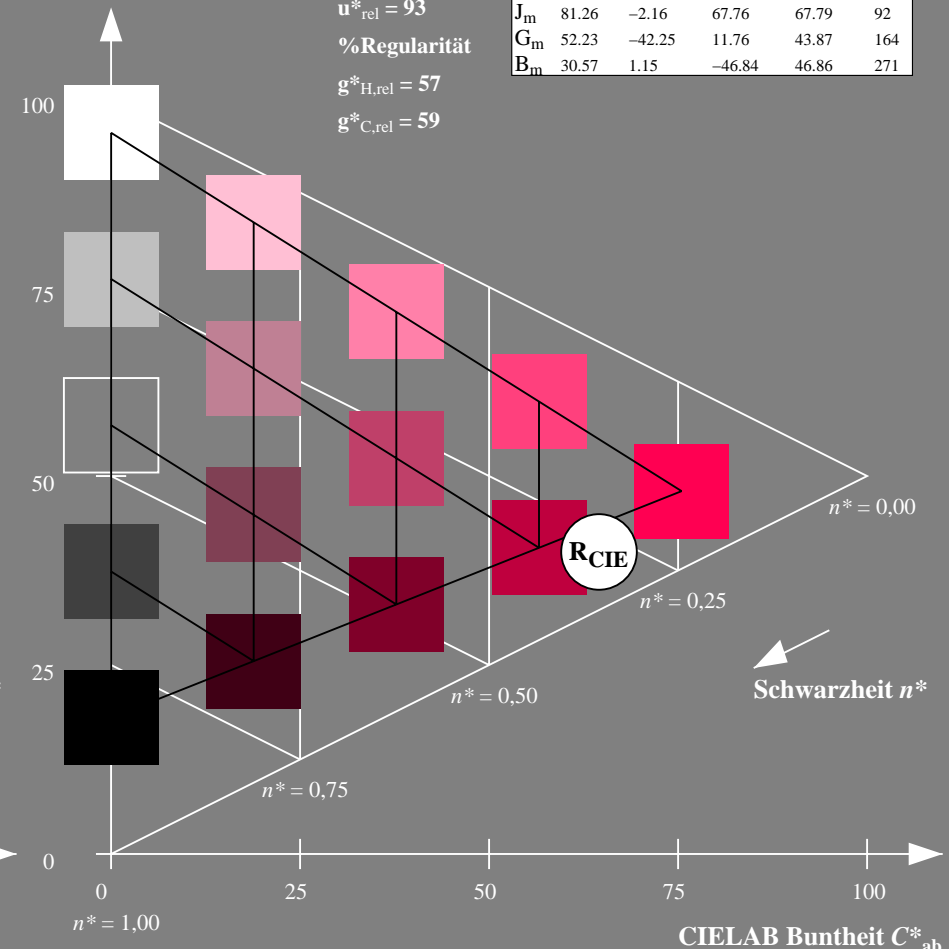
	$L^*=L^*_a$	$a^*_a$	$b^*_a$	$C^*_{ab,a}$	$h^*_{ab,a}$
O <sub>m</sub>	47.94	65.39	50.52	82.63	38
Y <sub>m</sub>	90.37	-10.26	91.75	92.32	96
L <sub>m</sub>	50.9	-62.83	34.96	71.91	151
C <sub>m</sub>	58.62	-30.34	-45.01	54.3	236
V <sub>m</sub>	25.72	31.1	-44.4	54.22	305
M <sub>m</sub>	48.13	75.28	-8.36	75.74	354
N <sub>m</sub>	18.01	0.0	0.0	0.0	0
W <sub>m</sub>	95.41	0.0	0.0	0.0	0
R <sub>m</sub>	39.92	58.66	26.98	64.57	25
J <sub>m</sub>	81.26	-2.16	67.76	67.79	92
G <sub>m</sub>	52.23	-42.25	11.76	43.87	164
B <sub>m</sub>	30.57	1.15	-46.84	46.86	271

CIELAB-Helligkeit  $L^*$ 

%Umfang

 $u^*_{rel} = 93$ 

%Regularität

 $g^*_{H,rel} = 57$  $g^*_{C,rel} = 59$ 

5 stufige Reihen für konstanten CIELAB Buntton 25/360 = 0.069 (rechts)

BAM-Prüfvorlage NG27; Farbmétrik-Systeme ORS18 &amp; ORS18input: olv\* setrgbcolor

D65: Koordinatensysteme; 5stufige Farbreihen für 10 Bunttöne output: Startup (S) data dependend



## Eingabe: Farbmétrisches Standard-Reflektiv-System SRS18

für Buntton  $h^* = lab^*h = 92/360 = 0.256$  $lab^*tch$  und  $lab^*nch$ 

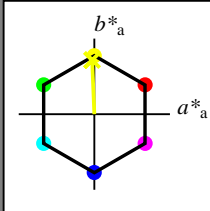
D65: Buntton J

LCH\*Ma: 57 76 92

olv\*Ma: 0.95 1.0 0.0

## SRS18; adaptierte CIELAB-Daten

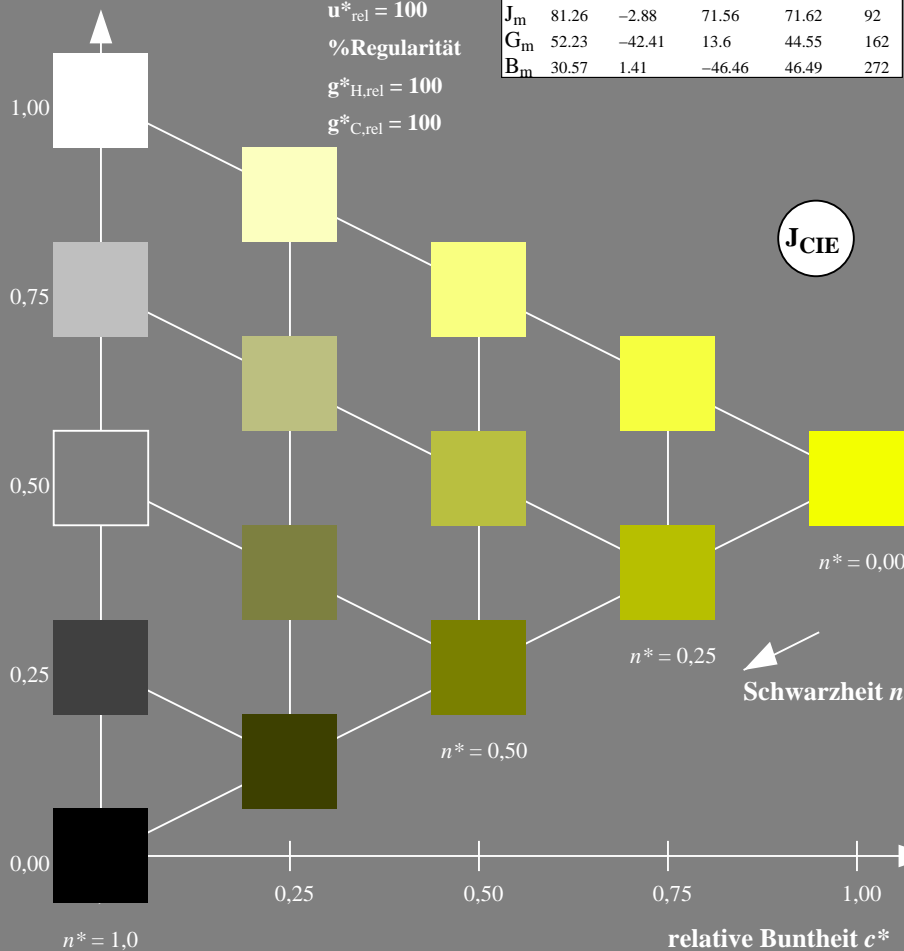
	$L^*=L^*_a$	$a^*_a$	$b^*_a$	$C^*_{ab,a}$	$h^*_{ab,a}$
O <sub>m</sub>	56.71	67.03	38.7	77.4	30
Y <sub>m</sub>	56.71	0.0	77.4	77.4	90
L <sub>m</sub>	56.71	-67.02	38.7	77.4	150
C <sub>m</sub>	56.71	-67.02	-38.69	77.4	210
V <sub>m</sub>	56.71	0.0	-77.39	77.4	270
M <sub>m</sub>	56.71	67.03	-38.69	77.4	330
N <sub>m</sub>	18.01	0.0	0.0	0.0	0
W <sub>m</sub>	95.41	0.0	0.0	0.0	0
R <sub>m</sub>	39.92	58.74	27.99	65.07	25
J <sub>m</sub>	81.26	-2.88	71.56	71.62	92
G <sub>m</sub>	52.23	-42.41	13.6	44.55	162
B <sub>m</sub>	30.57	1.41	-46.46	46.49	272

Dreiecks-Helligkeit  $t^*$ 

%Umfang

 $u^*_{rel} = 100$ 

%Regularität

 $g^*_{H,rel} = 100$  $g^*_{C,rel} = 100$ NG270-7, 5 stufige Reihen für konstanten CIELAB Buntton  $92/360 = 0.256$  (links)

## Ausgabe: Farbmétrisches Offset-Reflektiv-System ORS18

für Buntton  $h^* = lab^*h = 92/360 = 0.255$  $LAB^*LCH, LAB^*NCH$ 

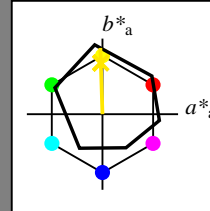
D65: Buntton J

LCH\*Ma: 86 88 92

olv\*Ma: 1.0 0.9 0.0

## ORS18; adaptierte CIELAB-Daten

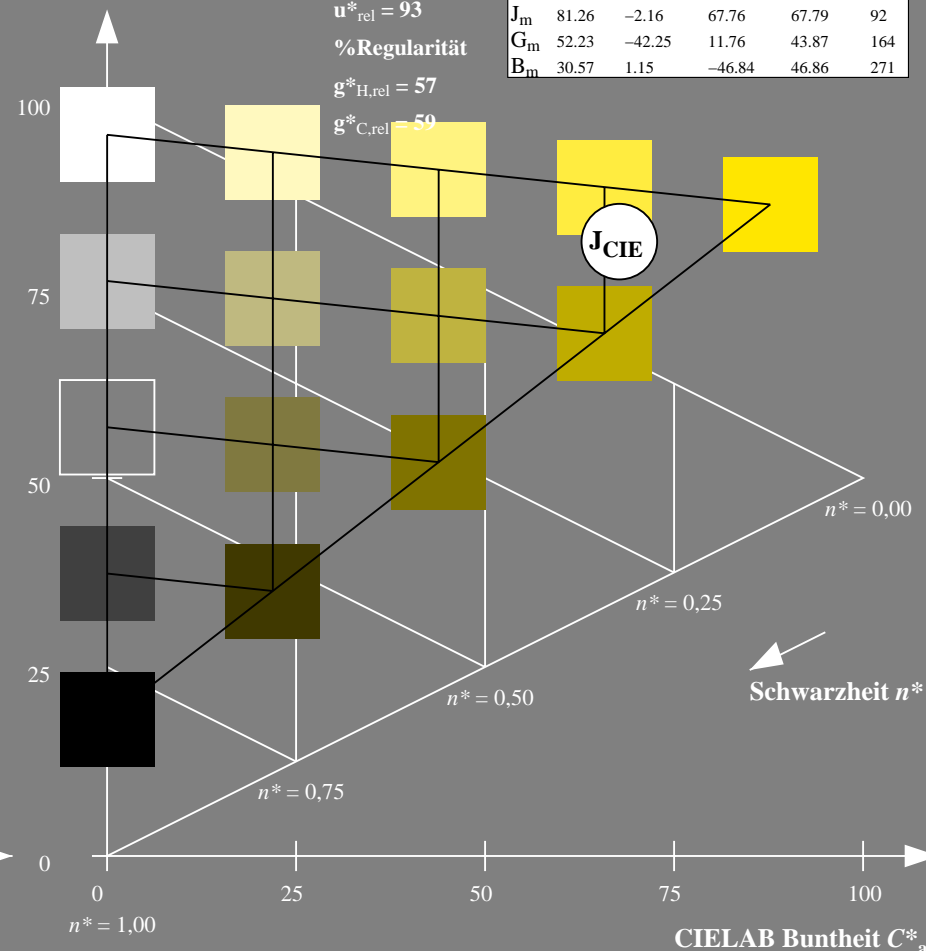
	$L^*=L^*_a$	$a^*_a$	$b^*_a$	$C^*_{ab,a}$	$h^*_{ab,a}$
O <sub>m</sub>	47.94	65.39	50.52	82.63	38
Y <sub>m</sub>	90.37	-10.26	91.75	92.32	96
L <sub>m</sub>	50.9	-62.83	34.96	71.91	151
C <sub>m</sub>	58.62	-30.34	-45.01	54.3	236
V <sub>m</sub>	25.72	31.1	-44.4	54.22	305
M <sub>m</sub>	48.13	75.28	-8.36	75.74	354
N <sub>m</sub>	18.01	0.0	0.0	0.0	0
W <sub>m</sub>	95.41	0.0	0.0	0.0	0
R <sub>m</sub>	39.92	58.66	26.98	64.57	25
J <sub>m</sub>	81.26	-2.16	67.76	67.79	92
G <sub>m</sub>	52.23	-42.25	11.76	43.87	164
B <sub>m</sub>	30.57	1.15	-46.84	46.86	271

CIELAB-Helligkeit  $L^*$ 

%Umfang

 $u^*_{rel} = 93$ 

%Regularität

 $g^*_{H,rel} = 57$  $g^*_{C,rel} = 59$ 5 stufige Reihen für konstanten CIELAB Buntton  $92/360 = 0.255$  (rechts)

BAM-Prüfvorlage NG27; Farbmétrik-Systeme ORS18 &amp; ORS18input: olv\* setrgbcolor

D65: Koordinatensysteme; 5stufige Farbreihen für 10 Bunttöne output: Startup (S) data dependend



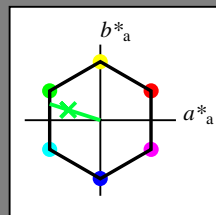
## Eingabe: Farbmétrisches Standard-Reflektiv-System SRS18

für Buntton  $h^* = lab^*h = 162/360 = 0.451$  $lab^*tch$  und  $lab^*nch$ 

D65: Buntton G

LCH\*Ma: 57 70 162

olv\*Ma: 0.0 1.0 0.22



## SRS18; adaptierte CIELAB-Daten

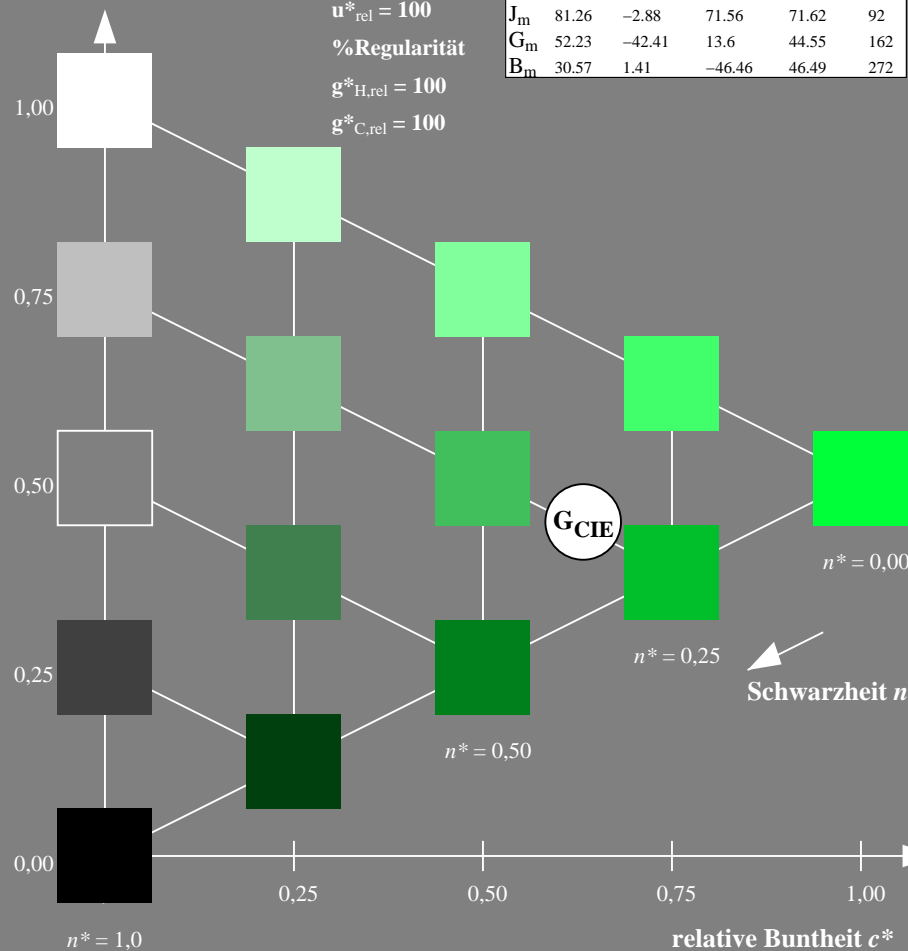
	$L^*=L^*_a$	$a^*_a$	$b^*_a$	$C^*_{ab,a}$	$h^*_{ab,a}$
O <sub>m</sub>	56.71	67.03	38.7	77.4	30
Y <sub>m</sub>	56.71	0.0	77.4	77.4	90
L <sub>m</sub>	56.71	-67.02	38.7	77.4	150
C <sub>m</sub>	56.71	-67.02	-38.69	77.4	210
V <sub>m</sub>	56.71	0.0	-77.39	77.4	270
M <sub>m</sub>	56.71	67.03	-38.69	77.4	330
N <sub>m</sub>	18.01	0.0	0.0	0.0	0
W <sub>m</sub>	95.41	0.0	0.0	0.0	0
R <sub>m</sub>	39.92	58.74	27.99	65.07	25
J <sub>m</sub>	81.26	-2.88	71.56	71.62	92
G <sub>m</sub>	52.23	-42.41	13.6	44.55	162
B <sub>m</sub>	30.57	1.41	-46.46	46.49	272

Dreiecks-Helligkeit  $t^*$ 

%Umfang

 $u^*_{rel} = 100$ 

%Regularität

 $g^*_{H,rel} = 100$  $g^*_{C,rel} = 100$ NG270-7, 5 stufige Reihen für konstanten CIELAB Buntton  $162/360 = 0.451$  (links)

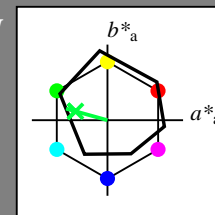
## Ausgabe: Farbmétrisches Offset-Reflektiv-System ORS18

für Buntton  $h^* = lab^*h = 164/360 = 0.457$  $LAB^*LCH, LAB^*NCH$ 

D65: Buntton G

LCH\*Ma: 53 57 164

olv\*Ma: 0.0 1.0 0.25



## ORS18; adaptierte CIELAB-Daten

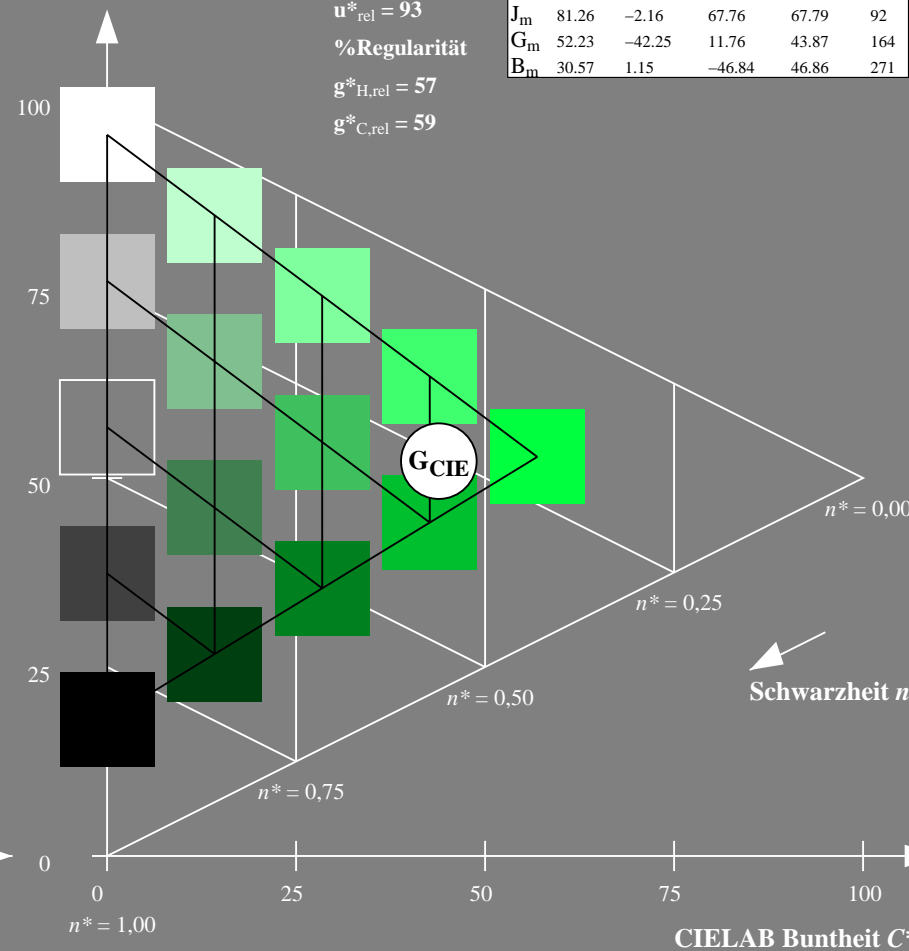
	$L^*=L^*_a$	$a^*_a$	$b^*_a$	$C^*_{ab,a}$	$h^*_{ab,a}$
O <sub>m</sub>	47.94	65.39	50.52	82.63	38
Y <sub>m</sub>	90.37	-10.26	91.75	92.32	96
L <sub>m</sub>	50.9	-62.83	34.96	71.91	151
C <sub>m</sub>	58.62	-30.34	-45.01	54.3	236
V <sub>m</sub>	25.72	31.1	-44.4	54.22	305
M <sub>m</sub>	48.13	75.28	-8.36	75.74	354
N <sub>m</sub>	18.01	0.0	0.0	0.0	0
W <sub>m</sub>	95.41	0.0	0.0	0.0	0
R <sub>m</sub>	39.92	58.66	26.98	64.57	25
J <sub>m</sub>	81.26	-2.16	67.76	67.79	92
G <sub>m</sub>	52.23	-42.25	11.76	43.87	164
B <sub>m</sub>	30.57	1.15	-46.84	46.86	271

CIELAB-Helligkeit  $L^*$ 

%Umfang

 $u^*_{rel} = 93$ 

%Regularität

 $g^*_{H,rel} = 57$  $g^*_{C,rel} = 59$ 5 stufige Reihen für konstanten CIELAB Buntton  $164/360 = 0.457$  (rechts)

BAM-Prüfvorlage NG27; Farbmétrik-Systeme ORS18 &amp; ORS18input: olv\* setrgbcolor

D65: Koordinatensysteme; 5stufige Farbreihen für 10 Bunttöne output: Startup (S) data dependend

## Eingabe: Farbmétrisches Standard-Reflektiv-System SRS18

für Buntton  $h^* = lab^*h = 272/360 = 0.755$  $lab^*tch$  und  $lab^*nch$ 

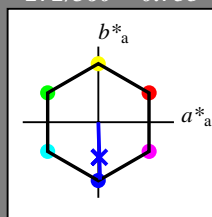
D65: Buntton B

LCH\*Ma: 57 76 272

olv\*Ma: 0.03 0.0 1.0

## SRS18; adaptierte CIELAB-Daten

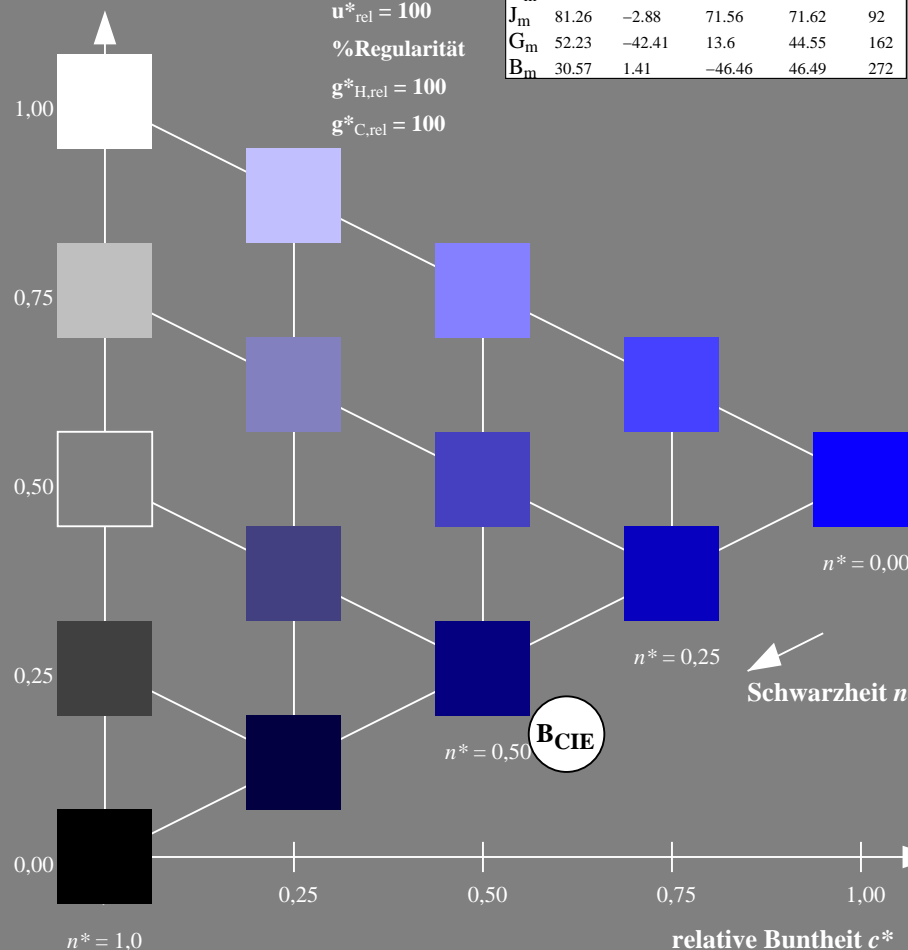
	$L^*=L^*_a$	$a^*_a$	$b^*_a$	$C^*_{ab,a}$	$h^*_{ab,a}$
O <sub>m</sub>	56.71	67.03	38.7	77.4	30
Y <sub>m</sub>	56.71	0.0	77.4	77.4	90
L <sub>m</sub>	56.71	-67.02	38.7	77.4	150
C <sub>m</sub>	56.71	-67.02	-38.69	77.4	210
V <sub>m</sub>	56.71	0.0	-77.39	77.4	270
M <sub>m</sub>	56.71	67.03	-38.69	77.4	330
N <sub>m</sub>	18.01	0.0	0.0	0.0	0
W <sub>m</sub>	95.41	0.0	0.0	0.0	0
R <sub>m</sub>	39.92	58.74	27.99	65.07	25
J <sub>m</sub>	81.26	-2.88	71.56	71.62	92
G <sub>m</sub>	52.23	-42.41	13.6	44.55	162
B <sub>m</sub>	30.57	1.41	-46.46	46.49	272

Dreiecks-Helligkeit  $t^*$ 

%Umfang

 $u^*_{rel} = 100$ 

%Regularität

 $g^*_{H,rel} = 100$  $g^*_{C,rel} = 100$ NG270-7, 5 stufige Reihen für konstanten CIELAB Buntton  $272/360 = 0.755$  (links)

## Ausgabe: Farbmétrisches Offset-Reflektiv-System ORS18

für Buntton  $h^* = lab^*h = 271/360 = 0.754$  $LAB^*LCH, LAB^*NCH$ 

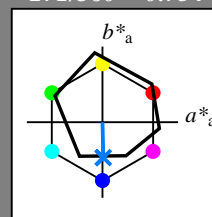
D65: Buntton B

LCH\*Ma: 42 45 271

olv\*Ma: 0.0 0.49 1.0

## ORS18; adaptierte CIELAB-Daten

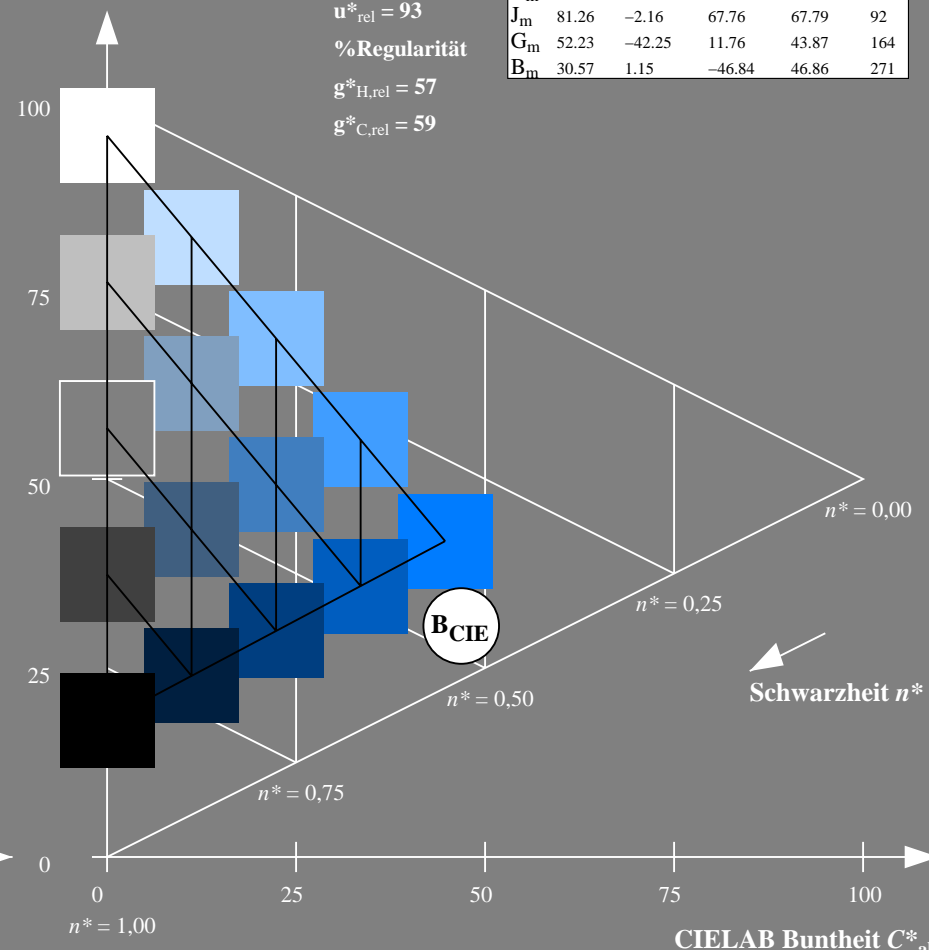
	$L^*=L^*_a$	$a^*_a$	$b^*_a$	$C^*_{ab,a}$	$h^*_{ab,a}$
O <sub>m</sub>	47.94	65.39	50.52	82.63	38
Y <sub>m</sub>	90.37	-10.26	91.75	92.32	96
L <sub>m</sub>	50.9	-62.83	34.96	71.91	151
C <sub>m</sub>	58.62	-30.34	-45.01	54.3	236
V <sub>m</sub>	25.72	31.1	-44.4	54.22	305
M <sub>m</sub>	48.13	75.28	-8.36	75.74	354
N <sub>m</sub>	18.01	0.0	0.0	0.0	0
W <sub>m</sub>	95.41	0.0	0.0	0.0	0
R <sub>m</sub>	39.92	58.66	26.98	64.57	25
J <sub>m</sub>	81.26	-2.16	67.76	67.79	92
G <sub>m</sub>	52.23	-42.25	11.76	43.87	164
B <sub>m</sub>	30.57	1.15	-46.84	46.86	271

CIELAB-Helligkeit  $L^*$ 

%Umfang

 $u^*_{rel} = 93$ 

%Regularität

 $g^*_{H,rel} = 57$  $g^*_{C,rel} = 59$ 5 stufige Reihen für konstanten CIELAB Buntton  $271/360 = 0.754$  (rechts)

BAM-Prüfvorlage NG27; Farbmétrik-Systeme ORS18 &amp; ORS18input: olv\* setrgbcolor

D65: Koordinatensysteme; 5stufige Farbreihen für 10 Bunttöne output: Startup (S) data dependend